УДК 681.322.05: 355.404.4

И.В. Рубан

Харьковский университет Воздушных Сил им. И. Кожедуба, Харьков

МОДЕЛЬ ПРЕДСТАВЛЕНИЯ И ОБРАБОТКИ ИЗОБРАЖЕНИЙ В СИСТЕМАХ ЦЕЛЕНАПРАВЛЕННОГО ПОИСКА ОБЪЕКТОВ

Предложена модель оценки обстановки на основе анализа изображений, которая позволяет нам реализовать подход объектно-ориентированного представления и обработки изображений и показывает, что использование данного подхода не только обеспечивает сжатие изображений, но и сокращает время оценки обстановки, что позволяет вести обработку в реальном масштабе времени.

объектно-ориентированное представление, обработка изображений

Введение

В настоящее время существует ряд основных задач, целью которых является целенаправленный поиск объектов по заданным характеристикам и свойствам. Одним из приложений является мониторинг участков земной поверхности (например, контроль состояния нефтепроводов). Наиболее перспективным является представление результатов мониторинга в виде изображений [1]. Данный факт определяется тем, что зрительный анализатор человека принимает 80% всей поступающей информации. Поэтому на данный момент актуальной является задача разработки новых теоретических подходов к предоставлению изображений, учитывающих темп проведения мониторинга и характеристики систем передачи данных [2].

Основная часть

При построении модели представления изображений учитывают тот факт, что процесс мониторинга осуществляется в интерактивном режиме между системой обработки изображений и человеком-оператором.

На рис. 1 представлена модель взаимодействия человека с системой представления и обработки изображений.

Данная модель включает в себя следующие составляющие:

- обработка изображений в системе и представления;
- оценка изображения человеком-оператором с целью.

В процессе взаимодействия человека с системой по результатом оценки изображения возможны два варианта действий:

1. При достаточном информационном содержании и степени детализации представления изображения является основанием для принятия решения

2. При отсутствии достаточной информации формируется управляющее воздействие на уточнение области представления изображений.

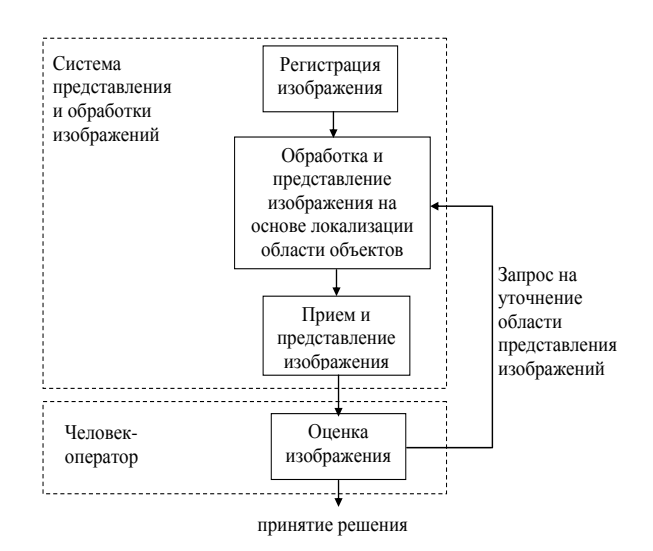


Рис. 1 Схематическая модель процесса обработки и оценки изображений

Поведение человека-оператора во многом зависит от структуры и характеристик изображения.

Оптический мониторинг проводится для выявления ситуаций определенной целевой задачи оценки обстановки и принятия решения [1].

На рис. 2 представлена модель оценки обстановки в процессе анализа изображений.

В процессе оценки обстановки:

- на первом этапе осуществляется восприятие информации. В процессе восприятия происходит обнаружение объектов и восприятие объектов;
- на втором этапе осуществляется оценка информации заключающаяся в идентификации объектов:
- на третьем этапе осуществляется принятие решения о наличии ситуации.

© И.В. Рубан 35

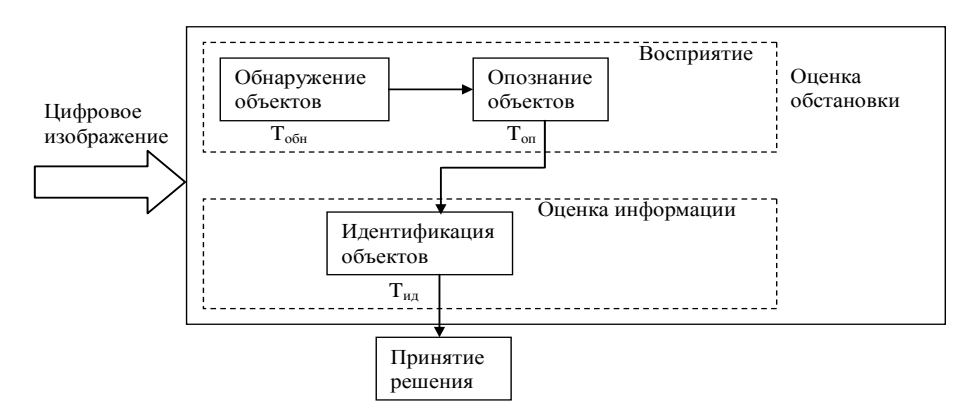


Рис. 2. Схематическая модель оценки обстановки

Если в изображении на момент представления объекты выделены, то время обнаружения объектов равно сумме времен обнаружения видимых объектов.

Если на момент представления произведена процедура выделения объектов, тогда значение количества деталей, сопоставимых с объектом N, будет равно числу выделенных объектов $N_{\rm B}$, N= $N_{\rm B}$.

Тогда можно записать:

$$T_{\text{OOH}} = \sum_{i=1}^{N} \Delta t_{\text{OOH}i} , \qquad (1)$$

где $\Delta t_{\text{обні}}$ — интервал времени обнаружения объекта оператором.

Если в изображении на момент представления объекты выделены, то время опознания объектов равно сумме времени опознания (Δt_{oni}) выделенных объектов

Если N= N_в, тогда можно записать

$$T_{\text{on}} = \sum_{i=1}^{N_{\text{B}}} \Delta t_{\text{on}i} . \qquad (2)$$

Суммарное время оценки обстановки на основе анализа изображений можно записать:

$$T_{\text{OHOO}} = T_{\text{OOH}} + T_{\text{OII}} + T_{\text{ИЛ}}. \tag{3}$$

При оценке обстановки на основе анализа

изображений время обнаружения определяется количеством мелких деталей, близким по своим характеристикам к объектам обнаружения. Тогда можно записать, что

$$T_{\text{OOH}} = \sum_{i=1}^{N} \Delta t_{\text{OOH}} . \tag{4}$$

Исходя из (4), можно сделать следующий вывод, что наличие большого числа мелких деталей в изображении значительно увеличивает время обнаружения объектов.

Время опознания объектов можно записать в следующем виде:

$$T_{\text{OII}} = \sum_{i=1}^{N} \Delta t_{\text{OIIi}} . \tag{5}$$

Время идентификации состоит из суммы времен идентификации объектов ($\Delta t_{\rm идi}$) из числа опознанных объектов:

$$T_{\mu \mu} = \sum_{j=1}^{M} \Delta t_{\mu \mu i} \ .$$

Анализ выражений (1) – (5) показывает, что время оценки обстановки зависит от числа деталей изображения, близких к обнаруживаемым объектам.

На рис. 3 представлена модель прецедентов обработки изображений.

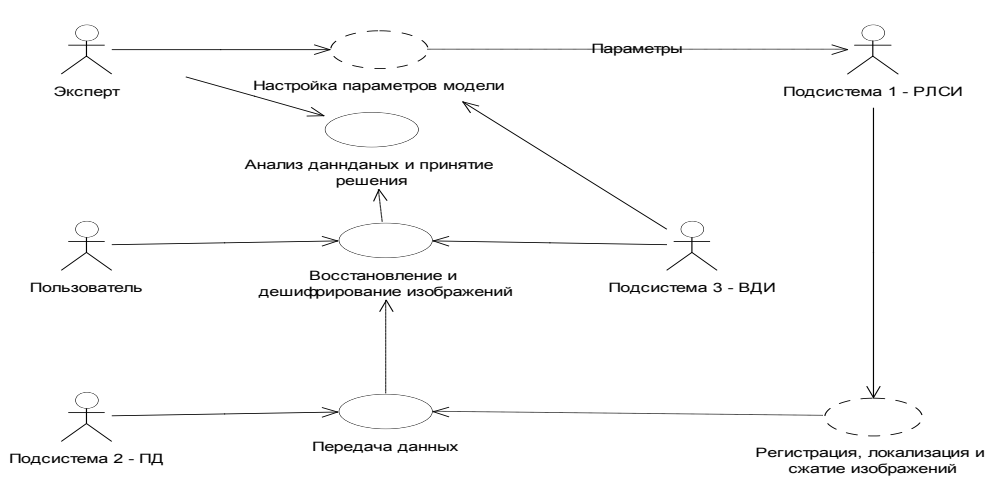


Рис. 3. Модель прецедентов обработки изображений

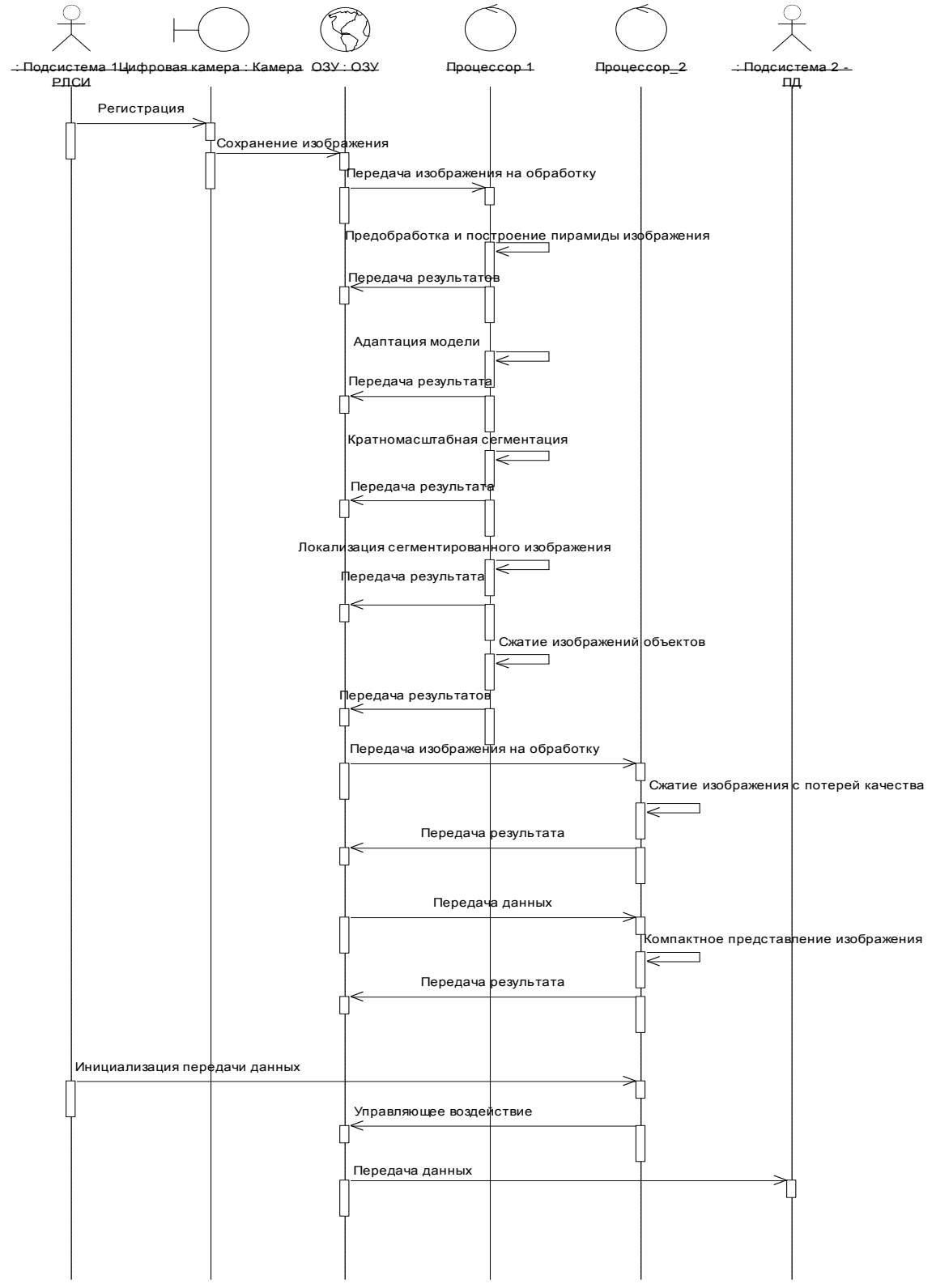


Рис. 4. Диаграмма последовательностей прецедента регистрации, локализации и сжатия изображений

Рассматриваемая модель состоит из следующих основных состаляющих.

Эксперт, точнее комплекс программ экспертной системы (ЭС), работающий под управлением эксперта, служит для настройки параметров модели на объекты рассматриваемого класса в рамках выбранного приложения. Настройка производится пе-

ред началом эксплуатации системы; получаемые в рамках этого этапа результаты являются основой для решения задачи адаптации не только к особенностям объектов, но также к условиям получения снимков [3, 4].

Кроме того, ЭС служит для анализа получаемых данных (после восстановления и дешифрирова-

ния), для принятия решения о возможности передачи данных пользователю с целью их прикладного анализа: если данные признаются пригодными, тогда они передаются пользователю, а в противном случае (после корректировки параметров модели) — производится повторная обработка снимка (подсистемы 1-3),

Подсистема РЛСИ служит для последовательного выполнения одноименных операций: регистрации, локализации и сжатия изображений.

Подсистема ПД служит для передачи данных (сжатого изображения) между подсистемами РЛСИ и ВДИ.

Подсистема ВДИ служит для восстановления сжатого изображения и дешифрирования восстановленного изображения.

Пользователь – комплекс программ профильной обработки получаемых данных, работающий под управлением эксперта в предметной области.

Для целей работы основной интерес представляет подсистема РЛСИ, поэтому рассмотрим схему ее функционирования (рис. 4) детальнее.

В процессе функционирования подсистемы РЛСИ производится регистрация изображения; после полученное изображение сохраняется в оперативной памяти, и реализуются необходимые для целей локализации и сжатия этапы обработки изображения. Как видно из рисунка, в системе параллельно производится локализация и сжатие (без потери качества) областей локализации объектов и сжатие (с потерей качества) всего снимка. Затем реализуется процедура компактного представления изображений в результирующий файл, который передается по каналам связи подсистеме ВДИ.

Схема взаимодействия аппаратной части подсистемы РЛСИ при решении задач регистрации, локализации и сжатия изображений раскрывается на рис. 5.

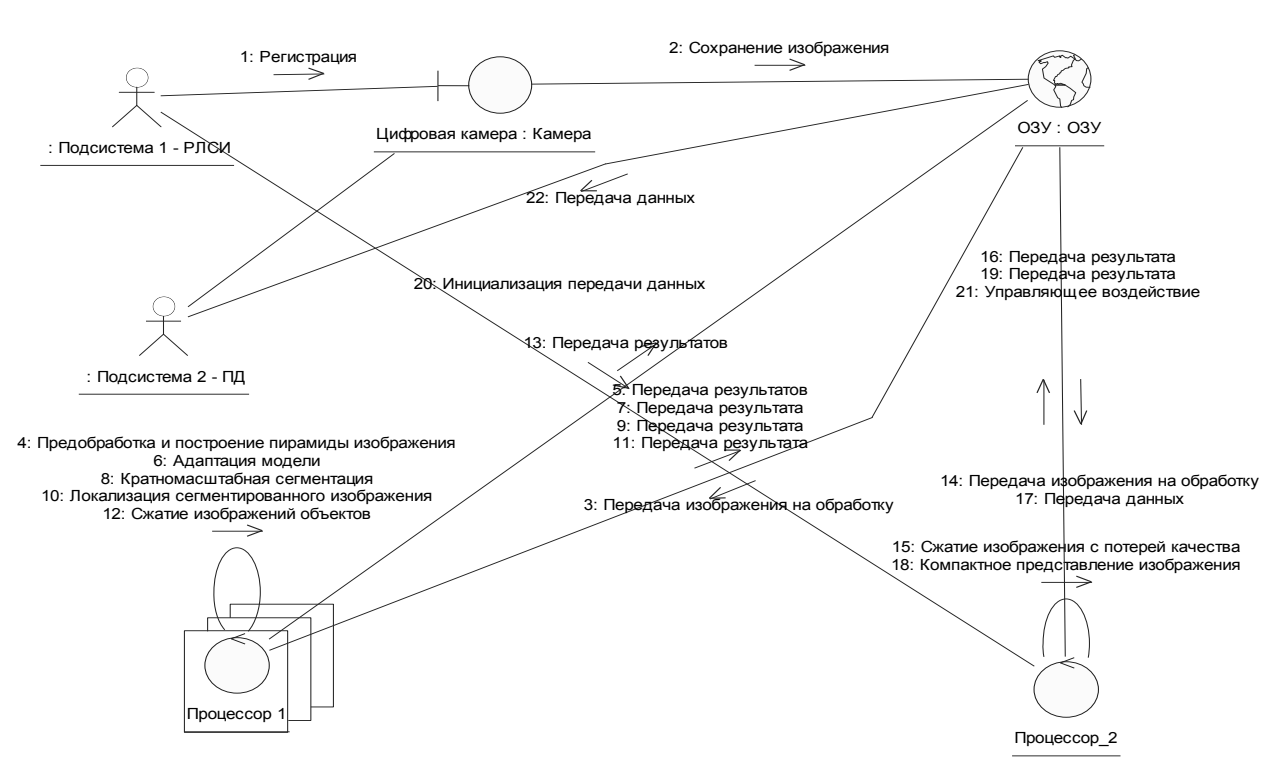


Рис. 5. Диаграмма связей прецедента регистрации, локализации и сжатия изображений

Одна из ключевых целей работы состоит в том, чтобы максимизировать вычислительную эффективность обнаружения объектов с целью минимизации задержек при подготовке изображения к сжатию, а в конечном итоге для обеспечения передачи и анализа видеоданных в реальном масштабе времени.

Время выполнения этапа «Обнаружение» характеризуется величиной порядка

$$T = (S \cdot \lambda) \cdot (C \cdot t) \rightarrow S \cdot t \leq T \leq 10 \cdot S \cdot t$$
, $(C \approx 100)$, что составляет время выполнения максимально трудоемкого метода пороговой сегментации по контрастности (для маски радиуса 2), где C – трудоем-

кость, представленная числом операций сложения из расчета на один пиксель.

Время выполнения этапа «Сегментация» характеризуется величиной порядка

$$T = (S \cdot L) \cdot (C \cdot t) \rightarrow S \cdot t \le T \le 10 \cdot S \cdot t, (C \approx 100),$$

что составляет время выполнения максимально трудоемкого волнового метода.

Таким образом, в нормальных условиях (при выполнении введенных допущений) время КМС по порядку величины оценивается выражением

$$S \cdot t \le T \le 10 \cdot S \cdot t$$
.

При этом для трудоемкости сегментации получаем семейство линейных временных зависимостей вида (рис. 6)

$$T_k(S) = k \cdot S \cdot t$$
, $(k = 1, 2, 3, ..., 10)$, $(5 \cdot 10^5 \le S \le 1 \cdot 10^7)$, $(t = P^{-1} = 1 \cdot 10^{-10})$.

В реальных условиях трудоемкость возрастет в 2-3 раза; при анализе цветных (мультиспектральных) изображений трудоемкость возрастет пропорционально числу каналов; кроме того, в сложных условиях с ростом параметров (L,λ) трудоемкость сегментации может возрасти еще в несколько раз.

Однако характер зависимости все равно будет носить линейный характер.

Это означает, например, что в нормальных условиях цветной 10 Мп снимок будет обработан за следующее время:

$$T \approx 0.01 \cdot 2.5 \cdot 3 \approx 0.075$$
.

При этом время анализа последовательности из 25 цветных кадров

$$T \approx 0.01 \cdot 2.5 \cdot 3.25 \approx 1.875$$

что не превышает реального масштаба времени, ориентировочно, составляющего 3 с.).

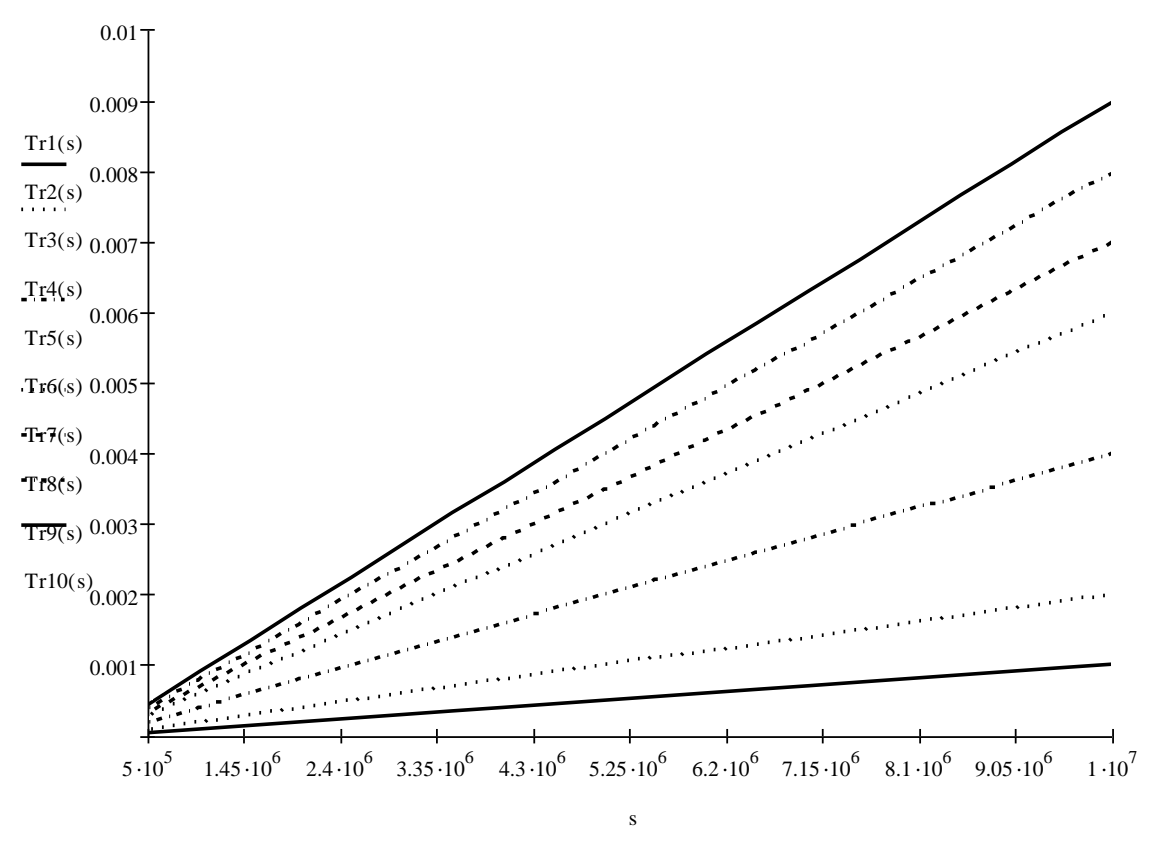


Рис. 6. Семейство оценок времени сегментации (в секундах) от площади снимка (в пикселях) при производительности $1\cdot 10^{10}$ операций в секунду

Выводы

Предложенная модель оценки обстановки на основе анализа изображений позволяет нам реализовать подход объектно-ориентированного представления и обработки изображений и показывает, что использование данного подхода не только обеспечивает сжатие изображений, но и сокращает время оценки обстановки, что позволяет вести обработку в реальном масштабе времени.

Список литературы

- 1. Моніторинг надзвичайних ситуацій: Підручник / Ю.О. Абрамов, Є.М. Грінченко, О.Ю. Кірочки и др. X.: $A \coprod 3 V$, 2005. 530 c.
- 2. Рубан И.В., Сумцов Д.В., Гладенко Н.І. Оценка характеристик обмена мультимедийной информацией в

корпоративных сетях. // Радіоелектронні і комп'ютерні системи. – X. – 2003. – \mathbb{N} 3. – \mathbb{C} . 177-179.

- 3. Ruban I.V., Smelyakov K.S., Smelyakova A.S., Tymochko A.I. Low Contrast Images Edge Detector // Proc. of Int. Conf. EWDTW 06. Sohci: Kharkov National University of Radioelectronics, 2006. P. 390-396.

Поступила в редколлегию 16.11.2007

Рецензент: д-р техн. наук, проф. Ю.В. Стасев, Харьковский университет Воздушных Сил им. И. Кожедуба, Харьков.